

FOR A GIVEN NEIGHBORHOOD V_s OF A PIXEL. THE PROBABILITY THAT IT ASSUMES A VALUE x_s IS GIVEN BY $P(x_s = x_s | V_s) = \exp(-U_s(x_s, V_s)) / Z^s$. Z^s EST DONNÉ PAR LA RELATION: $Z^s = \sum \exp(-U_s(x_s, V_s))$ où x_s SONT TOUTS LES VALEURS QUE x_s PEUT ASSUMER. PAR EXEMPLE: $V_s = \{0, 1\}$, CHAQUE OF ORDER 2, $V_s(x_s, t) = \beta \mathbb{1}(x_s \neq x_t) \Rightarrow U(x_s = 0, V_s = \{0, 0, 0, 1\}) = \beta$. $U(x_s = 1 | V_s) = 3\beta \Rightarrow P(x_s = 0 | V_s) = \exp(-\beta) / (\exp(-\beta) + \exp(-3\beta))$; $P(x_s = 1 | V_s) = \exp(-3\beta) / (\exp(-\beta) + \exp(-3\beta))$

Metropolis's Sampler: CHOIX D'UNE RÉGION 1, FOR THE IMAGE $x^{(n-1)}$, ON CALCULE LA PROB. $P(x_s = x_s | V_s) = \exp(-U_s(x_s, V_s)) / Z^s$. UPDATE THE SITE. ON FAIT ÇA POUR BEAUCOUP DE PIXELS. ON PEUT LES PRENDRE LIGNE PAR LIGNE.

EXEMPLES DE MODELES DE MARKOV: • ISING: $U(x) = \beta \sum \delta(x_i, x_j)$ où $E = \{0, 1\}$. Potts MODEL: $U(x) = \beta \sum \delta(x_i \neq x_j)$ où $E = \{0, \dots, q-1\}$. GAUSSIAN MARKOV MODEL: $U(x) = \beta \sum (x_i - x_j)^2 + \alpha \sum (x_i - \mu)^2$ $E = \mathbb{R}$

SOME INTUITIONS: SI ON PREND β TROP GRAND POUR L'ISING MODEL, ON VA PÉNALISER PLUS LES DIFFÉRENCES ENTRE PIXELS \Rightarrow ON AURA UNE IMAGE AVEC FORMES PLUS UNIFORMES (ALSO IN THE Potts MODEL). PRENDRE α TROP GRANDE POUR LE GAUSSIAN MARKOV MODEL ON VA PÉNALISER TROP LE DIFFÉRENCE ENTRE LA MOYENNE LOCAL ET LE PIXEL ET ON AURA UNE IMAGE UNIFORME.

SAMPLING VERSUS OPTIMIZATION: OPTIMIZATION C'EST LE MÊME QUE CHERCHER LE MINIMUM GLOBAL DE L'ÉNERGIE. CHOICE OF A SITE, COMPUTATION OF PROBS, CHOICE OF THE STATE MAXIMIZING THE PROB. EACH SITE IS UPDATED. DISCRETE LABELS, LOCAL MINIMUM, DEPENDS VERY MUCH ON INITIALIZATION, VERY FAST (SIMILAR TO GRADIENT DESCENT). GIBBS DISTRIBUTION AVEC TEMPERATURE: $P(x = x) = \frac{\exp(-U(x))}{\sum \exp(-U(x))}$ SIMULATED ANNEALING: BUILD A SEQ. BUILDING A SEQUENCE OF IMAGES WITH DECREASING TEMPERATURE. THE TEMPERATURE OBTAINED WHEN THE TEMPERATURE IS CLOSE TO 0 IS A GLOBAL MINIMUM OF THE ENERGY: TEMPERATURE SHOULD DECREASE REALLY SLOWLY AND INITIAL TEMPERATURE SHOULD BE HIGH ENOUGH. BAYESIAN MARKOV RANDOM FIELDS. SOME OBSERVATIONS ON THE GIBBS SAMPLER: THE OVERALL ENERGY IS REDUCED WITH A HOMOGENEOUS IMAGE. BAYESIAN MARKOV RANDOM FIELDS: WE MINIMIZE THE ENERGY

$U(x|y) = \sum -\ln(P(y_i = y_i | x_i = x_i)) + \sum U_c(x_i, x_j)$ DATA ATTACHMENT TERM (LIKELIHOOD TERM) REGULARIZATION TERM (PRIOR TERM)

THIS IS THE POSTERIOR DISTRIBUTION. EXEMPLE ON CALCULATING THE DATA ATTACHMENT TERM FOR A IMAGE WITH GAUSSIAN NOISE: IN ORDER TO CLASSIFY A PIXEL y_s AS WHITE WE NEED: $P(y_s = y_s | x_s = 1) > P(y_s = y_s | x_s = 0)$ DISTRIBUTION ON $x_s = 1$ YIELDS: $\frac{e^{-(y_s - \mu_1)^2 / 2\sigma^2}}{\sqrt{2\pi}\sigma}$ DISTRIBUTION ON $x_s = 0$ YIELDS: $\frac{e^{-(y_s - \mu_0)^2 / 2\sigma^2}}{\sqrt{2\pi}\sigma}$


YIELDS: $y_s > \frac{\mu_1 + \mu_2}{2}$. In THIS EXAMPLE WE ADD k TO THE GLOBAL ENERGY. $U_{\text{tdo}} = \sum \frac{(y_i - \mu_{x_i})^2}{2\sigma^2}$ + k , LOCAL ENERGY. $U_{\text{tdo}} = (y_s - \mu_{x_s})^2 / 2\sigma^2$. CONSIDERING THE GLOBAL ENERGY OF THE FIELD IF $\beta \rightarrow +\infty$ THE IMAGE WOULD ASSUME ONE SINGLE VALUE, WHETHER BLACK WHETHER WHITE. A GOOD INITIALIZATION WOULD BE THE LABEL IMAGE, IF WE DON'T HAVE IT, THE IMAGE THRESHOLDED (CLOSER TO THE FINAL IMAGE) IMAGE RESTORATION: WE TAKE A FUNCTION $\phi(x_i - x_j)$ AS V_c . OBS. ON ADDITIVE WHITE GAUSSIAN NOISE: $y = x + e$ $y_i = x_i + e_i$ $e_i \sim \mathcal{N}(0, \sigma^2)$ $P_n(y = y | x = x) = \prod_{i \in S} P_n(y_i = y_i | x_i = x_i) \propto \prod_{i \in S} \exp(-\frac{(y_i - x_i)^2}{2\sigma^2})$. $\Phi(u) = u^2$ IS A CHOICE OF REGULARIZATION TERM, ALSO USE THE TRUNCATED QUADRATIC TERM IS AN OPTION TO SUPPRESS THE REGULARIZATION TERM ON DISCONTINUITIES. ALSO THE PRIOR FIELD ENERGY $U(x, b) = \sum_{i,j} (1 - b_{ij})(x_i - x_j)^2 + \gamma \sum b_{ij}$. SOME NOTES ON IMPLICIT AND EXPLICIT δ -FUNCTION

AN EXPLICIT WITH LINE PROCESS: $U(x, b|y) = \sum_i (y_i - x_i)^2 + \lambda \sum_{(i,j)} b_{ij}(x_i - x_j)^2 + \mu \sum_{(i,j)} \psi(b_{ij})$ AN IMPLICIT: $U(x|y) = \sum_i (y_i - x_i)^2 + \lambda' \sum_{(i,j)} \phi(x_i - x_j)$ WHERE $b_{ij} = \phi(x_i - x_j) / \phi(x_i - x_j)$.

MÉTHODES VARIATIONNELLES: $u = m + b$ ON $(\mathbb{R}^n)^2$ CHERCHE À RETROUVER u COMME MINIMISER DE L'ÉNERGIE $E_1(u) = \|u - v\|^2 + \lambda \|Du\|^2$. LE SECOND TERM EST $\int \|\nabla u(x, y)\|^2 dx dy$ $E_2(u) = \|u - v\|^2 + \lambda \|Du\|_1 \Rightarrow \int \|Du\|_1 dx dy$ (SECOND TERM. $\nabla TV(f) = -\text{div}(\frac{\nabla f}{\|\nabla f\|})$)

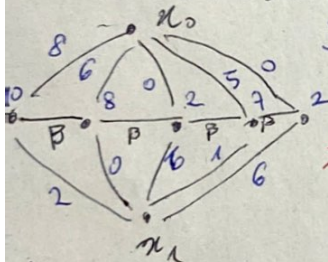
LE GRADIENT DE LA FONCTIONNELLE E_2 EST DONNÉ PAR $\nabla E_2(u) = 2(u - v) - \lambda \text{div}(\frac{\nabla u}{\|\nabla u\|})$

$TV(f) = \sum_{i,j} \sqrt{f(i+1, j) - f(i, j)}^2 + \sqrt{f(i, j+1) - f(i, j)}^2$

VEXAMEN DERNIERE:  EXPLIQUEZ QUELLES SONT LES CONFIGURATIONS DE CLIQUES LES PLUS FREQUENTES, EN LE JUSTIFIANT DÉFINISSEZ LE VARIÉTÉ DES PAGES ET LES POTENTIELS DE CLIQUES ASSOCIÉS À CE MODÈLE: IN THE VERTICAL WE HAVE MANY CLIQUES BETWEEN PIXELS OF SAME VALUE IN THE VERTICAL AND BETWEEN DIFF. VALUES IN HORIZONTAL, WE CAN SEE THAT AN ISING MODEL WITH $\beta > 0$ AND $V(0,0) = V(1,1) = -\beta$ IN THE VERTICAL ET $V(0,1) = V(1,0) = -\beta$ POUR IN THE HORIZONTAL.

2) CLASSIFICATION BAYÉSIENNE D'IMAGE, NIVEAU DE GRIS, 3 CLASSES. CLASSE 1 $\sim N(20, 25)$ CLASSE 2 $\sim N(50, 25)$. CLASSE 3 $\sim N(100, 25)$. 2.1) EXPLIQUEZ LE CRITÈRE DU MAXIMUM DE VRAISEMBLANCE EN CHAQUE PIXEL, EXPLIQUEZ À QUOI CORRESPOND CETTE OPÉRATION IT'S THE SAME AS COMPARING THE CRITÈRE DE MAXIMUM VRAISEMBLANCE TO SEARCH THE VALUE OF THE LABEL THAT MAXIMIZES THE PROBABILITY OF THE PIXEL ASSUME THIS VALUE, IN THIS CASE WOULD BE EQUIVALENT TO A THRESHOLDING. EXPLIQUEZ À QUELLE NIVEAU CLASSE SERA UN PIXEL DE NIVEAU DE GRIS 75 SI LES PROBABILITÉS A PRIORI DES CLASSES SONT 0.4 POUR LA CLASSE 1 ET 2 ET 0.2 POUR LA CLASSE 3 $P(y_s = 75 | x_s \in C_1) = 0.4 \cdot (1/\sqrt{2\pi\sigma^2}) \cdot e^{-\frac{(75-20)^2}{2 \cdot 25}} = 0.4 \cdot (1/\sqrt{50}) \cdot e^{-1.5} \approx 0.04$. $D(y_s = 75 | x_s \in C_1) = -\ln(P(y_s = 75 | x_s \in C_1)) \approx -\ln(0.04) \approx 3.2$. CLASSE 2 (THE SAME JUST CHANGE 20 BY 50 AND 55 BY 25. DO THE SAME TO CLASS 3. AS WE WOULD LIKE TO REDUCE THE TERM D'ATTACHE AUX DONNÉES WE CHOOSE CLASS 2.

2.2) AFIN D'AMÉLIORER LA COHÉRENCE SPACIALE ON UTILISE UN A PRIORI GLOBAL DANS LE CRITÈRE MAP SOUS FORME D'UN MODÈLE DE RÉGULARISATION, PROPOSEZ UN MODÈLE PERMETTANT DES ZONES COMPACTES DANS LA CLASSIFICATION: POTTS, 4-CONEX, BETA IF DIFF. PIXELS, OTHERWISE $\beta > 0$. COMBINING THE MODELS FROM THE 2 QUESTIONS BEFORE THIS ONE, DONNEZ L'ÉNERGIE GLOBALE DU CHAMP A POSTERIORI ET L'ÉNERGIE CONDITIONNELLE LOCALE DU CHAMP A POSTERIORI POUR UN PIXEL. GLOBALE $U(y) = \sum_i (y_i - m_{x_i})^2 + K + \sum_{(x_i, x_j) \in E} \beta \delta(y_i, y_j)$ CONDITIONNELLE LOCALE $U_{x_i, y_i} = (y_i - m_{x_i})^2 + \sum_{x_j \in N(x_i)} \beta \delta(y_i, y_j)$, PRENEZ UN PIXEL DE VALEUR 50, ENVOYÉ PAR VOISINS 1, 3, 3. CALCULEZ L'ÉNERGIE CONDITIONNELLE LOCALE. CLASSE 1: $50/20^2 + 3\beta$ CLASSE 2: 4β CLASSE 3: $50/100^2 + 3\beta$ OPTIMISATION PAR GRAPH-CUT $U(y) = \sum_i (y_i - m_{x_i})^2 + \sum_{(x_i, x_j) \in E} \beta \delta(y_i, y_j)$ WHERE $P(y_i | x_i) \propto \exp(-\frac{(y_i - m_{x_i})^2}{2\sigma^2})$. CLASSÉZ CETTE MÊME CLASSIFICATION BAYÉSIENNE PONCTUELLE AU SENS DU MAXIMUM DE VRAISEMBLANCE $P \propto \exp(-\frac{(y_i - m_{x_i})^2}{2\sigma^2}) \Rightarrow D \propto -\ln(P) \propto \frac{(y_i - m_{x_i})^2}{2\sigma^2} \Rightarrow D(y_i | x_i) \propto (y_i - m_{x_i})^2 \Rightarrow y_i = \arg\min(D(y_i | x_i)) \Rightarrow y_i = \text{classe la plus proche}$. Dessiner le GRAPH À CONSTRUIRE (EN PRÉCISANT LES NOEUDS ET LES POIDS DES ARCS) POUR TROUVER LA SOLUTION PAR COUPURE MINIMALE.



$$D(y_i, x_i) = |y_i - m_{x_i}|$$

Na prova antiga pediu para fazer um corte e dividi-lo em relação a β , trivial

4) Restauration

$$E_\lambda(u) = \|u - v\|^2 + \lambda \|Du\|_1$$

$$F_\lambda(u) = \|u - v\|^2 + \lambda \|Du\|_1$$

→ Débruitage, la minimisation de E fait l'image plus floue mais plus de bruit et F ne floute pas

OBS: α et β maps: V_c est une métrique ou une sous-métrique

Semi-métrique: $\forall \alpha, \beta \in E^2: -V_c(\alpha, \beta) = V_c(\beta, \alpha) \geq 0; V_c(\alpha, \beta) = 0 \Leftrightarrow \alpha = \beta$

Métrique, si en plus $V_c(\alpha, \beta) \leq V_c(\alpha, \gamma) + V_c(\gamma, \beta)$

$\alpha - \beta$ maps: put only the pixels α et β on the graph. link with some pixel neighbor pixels not included in the graph

$$w(p, \alpha) = D(\alpha, y_p) + \sum V_c(\alpha, x_q)$$

$$w(p, \beta) = D(\beta, y_p) + \sum V_c(\beta, x_q) \quad w(p, q) = V_c(\alpha, \beta)$$

α -expansion
Métrique

